

P

H-FD

昭和 5 年 5 月 18 日

ダクト付プロペラの推力減少について

別紙正斜

内容

頁

1. 序論

1

2. 流れ関数表示と境界値問題

2

3. 本体の近似角解

7

4. 短いダクトの近似角解

9 F

5. 推力減少と伴流(I)

11

6. " " "(I)

16

7. 系統論

18-18

参考文献

A ダクトの近似角解

AI-1

" B 軸流ホンフ理論について

BI-3

" C ダクト厚みの影響

CI-2

図 1~4.

昭和 年 月 日

1. 序論

1950.10.11.

タクト付プロペラに対する研究は数多く枚挙^{くわく}され、既に初期設計段階においてタクトの姿勢形状とそれが受持つ推力に関するまとまった記述は大變少^{すくな}い。

そこで本論文ではタクトが充分短いものとして近似角を求めるの仰角、薄くかつキャムバーおよびプロペラスリップ比の両数としてタクト内流速、タクトの受持つ推力を表現した。

この表現は上記3变数の一次関数となつてゐるので大變有用である。

次に船後のタクト付プロペラの推力減少についてはタクトなしプロペラと少し異なるであろうと予想される。

つまりタクトと船体の干渉はプロペラとの干渉とは様子が違うであろうから一応検討して見る必要がある。

ここで簡単の爲に船体が回転体である場合を取り上げて近似値を求めて見事とした。なお近似値を求める前に正しい値を求める事の表現を次節に示し、又プロペラと船体としては無限壁数作動円板模型を採用した。

最後にタクト内のプロペラは軸流ポンプと見なす事が出来る事が従来の研究にも指摘されており、大變有用と思われる所以而理論を対比し、又ポンプ効率と全体の推進効率とをタクト効率なる概念を導入して結びつけて見た。

これは新しい概念ではないか積極的に船体効率を考慮させて船後プロペラにも適用しようと言ふものである。

昭和 年 月 日

2. 流れ関数表示と境界值問題

回転対称な流れのみを考える事にする(2)回)のよう12円筒座標系を取り、速度ポテンシャル、他にストークスの流れ関数を導入する。

$$\begin{aligned} u &= \frac{\partial \phi}{\partial x} = \frac{1}{y} \frac{\partial \psi}{\partial y}, \\ v &= \frac{\partial \phi}{\partial y} = -\frac{1}{y} \frac{\partial \psi}{\partial x}. \end{aligned} \quad (2.1)$$

さて普通速度ポテンシャルには次節のように吹出し及び込み分布で表現されるが、次のよう12円輪状サーキュレーションで表現するとそのサーキュレーション係数はその点の速度に等しいので大変便利である。

$$\phi(x, y) = \int \delta(x', y') S(x, y; x', y') ds, \quad (2.2)$$

$$ds = \sqrt{dx'^2 + dy'^2}$$

$$S(x, y; x', y') = \frac{1}{4\pi} \int_0^{y'} \int_0^{2\pi} \frac{\partial}{\partial x'} \left(\frac{1}{R} \right) y' dy' d\theta, \quad (2.3)$$

$$R^2 = (x-x')^2 + y^2 - 2yy' \cos\theta + y'^2,$$

S は上式からわかるように半径 y' の円板上二重吹出し分布でもあるから物体が有限な長さを持つ場合無限遠方で ϕ は高々二重吹出ししかなくなる。

考慮する流れ関数は⁽²⁾

$$\psi(x, y) = \int \delta(x', y') G(x, y; x', y') ds, \quad (2.4)$$

昭和 年 月 日

$$G(x, y; x', y') = \frac{4}{4\pi} \frac{\partial}{\partial y} \int_0^{y'} \int_0^{2\pi} \frac{y' dy' d\theta}{R}, \quad (2.5)$$

あるいは

$$G = -\frac{y y'}{2\pi} \int_0^{\pi} \frac{\cos \theta d\theta}{R} = \frac{r_2}{2\pi} [E(k) - \frac{(1+k'^2)}{2} K(k)], \quad (2.6)$$

$$r_1^2 = (x-x')^2 + (y-y')^2, \quad r_2^2 = (x-x')^2 + (y+y')^2,$$

$$k^2 = 1 - k'^2, \quad k'^2 = r_1^2/r_2^2,$$

2212 E, K は 完全橋円 種分 である。

フロペラの流場については 循動内板モデルを採用する。

つまり無限翼数で半径に沿って一様なサーキュレーション分布を持ち 無限後方後流内で

スリップ速度 s を持つフロペラの軸方向速度は
フロペラ後流内筒面の一様な内輪状サーキュレーション分布で表現される。

回転方向速度については今は流れ全体が回転対称と考えていいるので境界条件は考慮しない。

又この点については フロペラが二重反転であるか
ましくは直後に静翼があるとその回転速度
が完全に打ち合って後流では回転速度
が零にならぬ状態のみを考えよとしてよい。
すなはち

点 x' (2次元半径 D , 軸半径 r) の 循動内板
の速度ボテンシャル, 流れ速度は

$$s \phi_A(x, y) = s [S_A(x, y; x', D) - S_A(x, y; x', R)], \quad (2.7)$$

$$s \gamma_A(x, y) = s [G_A(x, y; x', D) - G_A(x, y; x', R)], \quad (2.8)$$

$$N_A(x, y; x', y') = \int_{-\infty}^{x'} N_A(x, y; x', y') dx' , \quad (2.9)$$

$$G_A(x, y; x', y') = \int_{-\infty}^{x'} G(x, y; x', y') dx' ,$$

よく知らんて いさようじ

$$u = s \frac{\partial \phi}{\partial x} \underset{x \rightarrow +\infty}{\longrightarrow} \begin{cases} s & \text{for } D > b \\ 0 & \text{for } b > D, y < b, \end{cases} \quad (2.10)$$

$$u = s \frac{\partial \phi}{\partial x} \underset{x \rightarrow -\infty}{\longrightarrow} \begin{cases} \frac{s}{2} & \text{for } D > b \\ 0 & \text{for } b > D, y < b, \end{cases}$$

この作動円板の受け持つ推力 T_E は無限遠流における運動量増加による推力から吸込みとしてのフロペラの効果からラグリーア抗力を差引きして

$$T_E = PA s \left(1 + \frac{1}{2}\right), \quad A = \pi(D^2 - d^2), \quad (2.11)$$

となり フロペラの運動量理論による式に一致する。
さて前述のようにフロペラ以外の速度 フローテンシヤルは無限遠方では高々 2 重級出しがとなるから運動量の收支はなくこの作動円のみかの関係し、系全体の有効推力は常に (2.11) で表される。

つまり作動円板近似では特定のフロペラをあるのは單独で特定の推力を持つフロペラではなく船体又はダクト内で (2.11) の有効推力を出すフロペラを考えるので少し現実味が薄れるが、一方このように單純化する事で解釈が大変楽になるのがある。

序で反からこの近似ではフロペラ翼のサートリエーラン分布は半径方向に一定と

ダクト内の

昭和 年 月 日

としたが、これは又 γ^0 ベテラを軸流ボンブと見なすより、これは最も分布である(附録B参照)。この前出の回転方向速度の無視と共にこれは理想的な状態のモデル化と言える。

さて最後に境界値問題は流れ度数で指定するのか便利か

$$\begin{aligned} \gamma(x,y)|_H &= -\frac{y^2}{2}, \\ \gamma(x,y)|_D &= -\frac{y^2}{2} + \text{Const.} \end{aligned} \quad \left. \right\} (2.12)$$

となるが、ここでダクト上の境界条件の中にある定数は未定であるから問題は不定となるが、もしダクト後方端の流出条件

$$\gamma_D|_{\text{Trailing edge}} = 0, \quad \dots \quad (2.13)$$

を規定すれば解は定まる。

積分方程式との(2.12)を解けば"問題は解決するけれどそれは必ずしも得策ではない。

と言うのは、ダクトと γ^0 ベテラの相手干渉は大きいけれども他の相手干渉は弱いものと考えられるし、又本章の目的の解を容易にするために近似的でなく解く方が便利であろう。

そのようにして得られた解は次のよう書きだす。

$$\begin{aligned} \gamma_H &= \gamma_H^0 + \gamma_H^D + S [\gamma_{H1}^{AD} + \gamma_{H2}^{AD}], \\ \gamma_D &= \gamma_D^0 + \gamma_D^H + S [\gamma_D^{AD} + \gamma_H^{AD}], \end{aligned} \quad \left. \right\} (2.14)$$

昭和 年 月 日

ここで肩符 O は夫々單独の時の解、D はダクトの影響
H は本体の影響、A は γ^0 と $\gamma^0 \rho$ の影響を示す
ものとする。

この式で γ^0 と $\gamma^0 \rho$ の影響はすべてスリップ s_{12}
比例する形で表わされる所が大変簡単で従つて
便利な点である。

又式中肩符 O, A_O 以外の量は一般に
小さな量と考えられるのでオイ近似といふは
無視してもよいと考えられる。

しかし実際にはこの方法では種々の方程式を
解かねばならぬので計算は複雑になる。
そこで以下の考察ではこれらの近似解を
導出しよう。

昭和 年 月 日

3. 本体の近似解 ⁽³⁾ 一般に
実際取扱う物体は細長いので (2.2)(2.3)
において

$$\gamma ds \doteq dx, \quad \left. \right\} \quad (3.1)$$

$$S(x, y; x', y') = \frac{y'^2}{4} \frac{\partial}{\partial x'} \frac{1}{R},$$

とします。

こうすると (2.2) は

$$\phi(x, y) = \frac{1}{4\pi} \int' A(x') \frac{\partial}{\partial x'} \frac{1}{R} dx'$$

$$= -\frac{1}{4\pi} \int' \frac{dA(x')}{dx'} \frac{dx'}{R}, \quad (3.2)$$

$$A(x') = \pi y'^2(x'), \quad \left. \right\} \quad (3.3)$$

となるてよく知られる近似表現を得る。

(3.2) において $x = 5\mu$

$$\frac{1}{R} = \frac{1}{\sqrt{(x-x')^2 + y'^2}} = \sum_{n=0}^{\infty} (2n+1) Q_n(s) P_n(\mu) P_n(\mu'), \quad (3.4)$$

$$x = 5\mu, \quad y = \sqrt{s^2 - 1} \sqrt{1-\mu^2}, \quad x' = \mu,$$

 P_n, Q_n は第 1, 2 種のレジナルドル函数。

左の直線を変って更に

$$Q_n(s) \xrightarrow{s \rightarrow 1} \log\left(\frac{2\sqrt{1-s^2}}{y}\right),$$

と近似すれば

$$\phi(x, y) \doteq -\frac{1}{2\pi} \frac{dA(x)}{dx} \log\left(\frac{2\sqrt{1-x^2}}{y}\right), \quad (3.5)$$

を得る。

$$u = \frac{\partial \phi}{\partial x} = \frac{\partial \phi}{\partial r} = -\frac{1}{2\pi} \frac{\partial A(x)}{\partial x^2} \left(\frac{2\sqrt{1-x^2}}{y} \right), \quad (3.6)$$

手書き

$$v = \frac{\partial \phi}{\partial y} = \frac{1}{2\pi y} \frac{\partial A(x)}{\partial x}, \quad (3.7)$$

(3.6)から伴流率 w を求めよと

$$w_A = -\frac{2\pi}{A} \int_0^D u y dy = \left[\frac{1}{2} + \log\left(\frac{2\sqrt{1-x^2}}{D}\right) - \frac{\pi a^2}{A} \log\left(\frac{D}{a}\right) \right],$$

$\underbrace{\frac{d^2 A(x)}{dx^2}}$

但し $A = \pi(D^2 - a^2)$ (3.8)

矢量¹⁾

4. ダクトの近似解²⁾

ダクトの直徑を $2D$, 長さ $2l$ とし, 厚さが 0 で
特異点は半径 D の円筒面上に分布すると近似的に
考えると(2.4)は

$$\psi(x, y) = \int_{-l}^l \delta(x') G(x, y; x', D) dx', \quad \dots (4.1)$$

となり, 2の y は ψ はダクト内外面の速度差となる。

この解については今更述べる必要もないけれど
2, 3では長さ l が D に比べて充分小さい場合に
ついて具体的な解を記し後の後に供する。

そこでよりよく(2.6)は

$$G(x, D; x', D) \approx \frac{D}{\pi} \left[1 - \frac{1}{2} \log \left| \frac{\delta D}{x-x'} \right| \right], \quad (4.2)$$

と近似されるので(4.1)は

$$\begin{aligned} \psi(x, D) &= \frac{D}{\pi} \left(1 - \frac{1}{2} \log \frac{\delta D}{l} \right) P \\ &\quad + \frac{D}{2\pi} \int_{-l}^l \delta(x') \log \frac{|x-x'|}{l} dx', \quad (4.3) \end{aligned}$$

$$P = \int_{-l}^l \delta(x') dx', \quad \dots \quad (4.4)$$

境界値問題を解くにはこのままでよいか次の
ように速度にした方が少し簡単である。
即ち(4.3)を微分して

$$v(x, D) = -\frac{1}{D} \frac{d\psi}{dx} = -\frac{1}{2\pi} \int_{-l}^l \frac{\delta(x')}{x-x'} dx', \quad (4.5)$$

これは全く三次元薄翼の場合と同形である。

昭和 年 月 日

塊界条件は仰角 α , キャビティ β とすると

$$v(x, D) = +\alpha + \beta \frac{x}{D}, \dots \quad (4.6)$$

であり、又プロペラの前方進速度に対しては

$$\begin{aligned} v(x, D) &= -\frac{s}{D} \frac{\partial \psi_A}{\partial x} = -\frac{s}{D} [G(x, D; x, D) - G(x, D; x, b)], \\ &\doteq -\frac{s}{\pi} \left[1 - \frac{1}{2} \lg \left| \frac{8D}{x} \right| \right], \quad \dots \quad (4.7) \end{aligned}$$

ここでボス $l = 0$ とし又プロペラ位置は原点とする。

(4.6) と (4.7) を (4.5) に代入して解きを求める
これを (4.8), (4.3) に代入するとまとめ

$$P = -\pi l(2\alpha + \beta) - sl \left(\lg \frac{16D}{e} - 2 \right), \quad (4.8)$$

$$\begin{aligned} w_D &= -\frac{2\pi}{\pi D^2} \psi(0, D) = -\frac{2l}{D} \left(\lg \frac{16D}{e} - 2 \right) \alpha - \frac{l}{D} \left(\lg \frac{16D}{e} - \frac{3}{2} \right) \beta \\ &\quad - \frac{sl}{\pi D} \left(\lg \frac{16D}{e} - 2 \right)^2, \quad \dots \quad (4.9) \end{aligned}$$

を得る。

w_D はプロペラからダクト中央にある時のプロペラ
内上の平均伴流率である。
ダクト内流

図3より空気で (4.9) 式の左边の α, β, s の係数を
示す。又付録 A により正しい近似値を計算して
実線で示してある。

この図から l/D が大きくなると α, β による増減速
効果が大きくなりそれが l/D とプロペラ自身の効果
効果が相殺するのに大きい車かわかる。

今後ダクトの摩擦抵抗を考えて失速しない限り出来る
だけ大きい α, β をとつて l/D を小さくする方が能率が
よい事になる。

昭和 年 月 日

5. 推力減少と伴流(I)

粘性を無視すれば“推力減少と伴流の関係”はよく知られた定理である。

それを免ず“ダクトなしのプロペラと平行体がある場合”について見ておこう。

次の表現によれば“本体に働く抗力はベルヌーイの定理により”

$$\Delta R_H = -\pi \rho \int \delta_H^2 \frac{y}{ds} dy ds, \quad (5.1)$$

として直ちに計算出来る。

これは サーキュレーション表示の一つの年点であるが今は少し不便であつて、クッタ・ジユコフスキーノの定理(二式から説明するまでもあるが)を使うと

$$\Delta R_H = 2\pi \rho s \int_H \frac{\partial \psi}{\partial x} I_A (ds), \quad (5.2)$$

と書きられる。

(2.8)を代入して(2.4)を参照すると

$$\begin{aligned} \Delta R_H &= 2\pi \rho s [\psi(x, D) - \psi(x, e)] \\ &= \rho s w_H A, \end{aligned} \quad (5.3)$$

$$w_H = -\frac{2\pi}{A} [\psi(x, D) - \psi(x, e)], \quad (5.4)$$

w_H は伴流率であり、 x はプロペラ位置である。

プロペラにはこれと同じだけの推力と有効推力(2.11)が働かれて、これを T_p とすると推力減少率 t は

$$1-t = \frac{T_E}{T_p} = \frac{1 + \frac{s}{2}}{1 + \frac{s}{2} + 2w_H} \text{ or } t = \frac{w_H}{1 + \frac{s}{2} + 2w_H} \quad (5.5)$$

昭和 年 月 日

有効な
これが Diceman の得た式である。⁴⁾

又 w_H の第 1 近似は (3.8) で与えられる。

次に本体がなくてダクトと γ^0 ロペラがある場合を
考えよう。

この場合も計算式としては (5.1) ~ (5.3) と同じ
であるから 結局 ダクトに働く抗力は

$$\Delta R_D = \rho s w_D A, \dots \quad (5.6)$$

となり、 w_D はダクトより γ^0 ロペラ面に誘起する
傍流率であつて近似的には (4.9) で与えられる。
従来の研究で定義される比では 推力減少率を
 τ とすると

$$\tau = \frac{T_P}{T_E} = \frac{1}{1-t} = 1 + \frac{w_D}{1+s}, \dots \quad (5.7)$$

のようになる。(下は γ^0 ロペラ推力)

この式の分子、分母又 (4.9) の式も共に s の
一次式となつてゐるのでこれらの量体 背塗度 G
の商数として表示するよりは s の商数として
表示する方が便利であろう。

s と G_T の関係は (2.11) より次の通りである。

$$G_T = T_E / (\frac{\rho}{2} A) = 2s + s^2 \quad \left. \right\} \quad (5.8)$$

$$s = \sqrt{1+G_T} - 1.$$

さて ダクトの中の γ^0 ロペラは 軸流ポンプと見て
す事が出来、又そのように考へると ダクトの影響
を考慮に入れた γ^0 ロペラの設計法として
合理的であると考えられる。

この軸流ポンプとしての効率を η_{pump} と
すると ダクトも含めて系の推進効率 η_{pd} は

$$\eta_{pd} = \frac{T_E V}{L} = \eta_{pump} \cdot \eta_d, \dots \quad (5.9)$$

昭和 年 月 日

$$\eta_{\text{pump}} = \frac{T_P V_P}{L}, \quad \eta_d = \frac{T_E}{T_P} \times \frac{V}{V_P}, \quad \dots (5.10)$$

で与えられる。

ここで L はポンプ動力, V は一ホース流速 (m/s は
単位速度といつて), V_P はプロペラ面での水の
速度。

上の η_d を以下ダクト効率と呼ぶことにしよう。

これは その定義から 船体効率と同じ沿岸
をしている方の速度比と一ホース流速とプロペラ
面での水の速度の比をとっている所から少し違つて
いる。

さて プロペラへの流入速度 V_P は明らかに

$$V_P/V = 1 + \frac{s}{2} - 2w_D, \quad \dots (5.11)$$

となり、この右边の $\frac{s}{2}$ は プロペラ自身の誘導速度で
ある。

それ故 (5.7) と上式を代入して ダクト効率は

$$\eta_d = \frac{1 + \frac{s}{2}}{(1 + \frac{s}{2})^2 - w_D^2} \rightarrow \dots (5.12)$$

と書ける。

従つて 一般に η_d は 1 より小さく、推進効率は
ポンプ効率より併せて本船かわくなる。^(5.6)

最後に 本体とダクト付プロペラがある場合
を考えよう。

この場合 本体の動力は (5.3) つまり プロペラ
の影響によるもの以外に 次のようなダクトによる
抗力 (従つて ダクトには推動力) が余計に働く。

昭和 年 月 日

$$\Delta R_{HD} = 2\pi P \int_H \frac{\partial Y_H}{\partial x} \frac{\partial Y_D}{\partial x} ds \quad (5.13)$$

$$= -2\pi P \int_D \frac{\partial Y_D}{\partial x} \frac{\partial Y_H}{\partial x} ds, \quad (5.13)$$

ここでダクトが充分短かいとすると、この後の式で近似約(3.7), (4.4)を代入すると
積分して $P A r$

$$\Delta R_{HD} = -P A r \frac{dA(x)}{dx}, \quad r = \frac{P}{A} \frac{dA}{dx}, \quad (5.14)$$

増速ダクトでは A は負であり、又 $\frac{dA}{dx}$ は一般に負であるからこれは抵抗力となる。

しかしこの抵抗力だけダクトには推力が働くので、
 T_P は T_E に働く推力は (5.3) と (5.6) を加え合せて

$$\frac{T_P}{T_E} = \frac{1}{t} = 1 + \frac{w_D + w_H}{1 + \frac{s}{2}}, \quad (5.15)$$

ダクトに働く推力は (5.6) と (5.14) で今えられ、これに
 T_P は T_E に働く推力を加えたものと有効推力の比で
推力減少率 t とする。

$$\frac{1}{1-t} = \frac{T_P + T_E}{T_E} = 1 + \frac{w_H}{1 + \frac{s}{2}} + \frac{r}{s(1 + \frac{s}{2})},$$

$$\text{or } t = \frac{w_H + r/s}{1 + \frac{s}{2} + w_H + r/s}, \quad (5.16)$$

となるので、増速ダクトでは (5.5) にしてダクト
の邊に推力減少率は少し上書きをする。
模型試験においてもこのような現象はあるが見える。

さてこのような立場はダクトと T_P を一体と
して推進器と考える立場であるが、実用上に

昭和 年 月 日

ここで考え方と測定出来るのは T° ピラのトルク(又は
抵抗力)をかけてみると、实用性上必ずしも便利でない
左く、(5.9)のようにはポンプ効率を含める方が
よい車両考えられた。

この時は推進効率は

$$\eta = \frac{T_E V}{L} = \eta_{\text{pump}} \cdot \eta_{\text{HD}}, \quad (5.17)$$

$$\eta_{\text{pump}} = \frac{T_P \cdot V_P}{L}, \quad \eta_{\text{HD}} = \frac{T_E \times V}{T_P \cdot V_P}, \quad (5.18)$$

と書けて T_E/T_P は (5.15) で与えられる

$$V_P/V = 1 + \frac{s}{2} - \omega_D - \omega_H, \quad (5.19)$$

であるから

$$\eta_{\text{HD}} = \frac{1 + \frac{s}{2}}{(1 + \frac{s}{2})^2 - (\omega_D + \omega_H)^2}, \quad (5.20)$$

となる。

△

昭和 年 月 日

6. 推力減少と伴流(正)

前節の考察に粘性を考慮に入れるはどう修正されるかについて考えよう。

粘性を考慮すると伴流には摩擦成分 w_f が含まれて来、ダクトは摩擦抵抗 R_D をもつ。

又プロペラ推力も粘性の為、理想状態の γ 倍 ($\gamma < 1$) で減少する。

しかし普通に仮定されるように推力減少率の相互干涉力は粘性の影響を受けないものとしよう。

そうするとプロペラとダクトの干渉力は互に打ち消しあうので、有効推力は

$$\bar{T}_E = \gamma T_{Ei} - R_D, \quad \dots \quad (6.1)$$

$$\dot{C}_{T2} = \frac{\bar{T}_{Ei}}{\rho A V^2} = \frac{\bar{T}_E + R_D}{\gamma \left(\frac{\rho}{2} A V^2\right)}, \quad \dots \quad (6.2)$$

と多、これから計算にスリット γ を使うべきである。

$$S = \sqrt{C_{T2} + 1} - 1, \quad \dots \quad (6.3)$$

本体とダクト・プロペラ共に貯存する場合について考えると (5.15) は

$$\frac{1}{T} = \frac{T_P}{T_E} + \frac{T_P}{T_{Ei}} \cdot \frac{T_P}{T_{Pi}} \cdot \frac{T_{Ei}}{T_E} = \left(1 + \frac{w_D + w_H}{1 + \frac{S}{2}}\right) (1 + C_D), \quad (6.4)$$

$$\therefore \text{20212: } \gamma = T_{Pi}/T_P, \quad C_D = R_D/\frac{\rho}{2} A V^2, \quad (6.5)$$

又 (5.19) は

$$V_P/V = 1 + \frac{S}{2} - w_D - w_H - w_f, \quad (6.6)$$

昭和 年 月 日

のようには修正すれば"充分"であろう。

ここで δ は所定Bを用いたときに近似的には

$$\gamma = 1 - \frac{\sum V_p}{\eta_{pump} \pi^2 D}, \quad \dots \quad (6.7)$$

n は毎秒回数； V_p はペペラ翼の抗揚比とする。

左の(6.1)式ではダクトの推力を γ 倍に減じたと見込んでしまったので引けば(6.4)によると少し小二因の値となるか C_D として平板摩擦を考えならばこれは少々小二因の推定値であるから互に打ち消し合う方向である。

全体の推進効率は(5.17)のように表記出来てダクト船体効率とで η_{HD} をとるのは(5.18)と同様

$$\eta_{HD} = \frac{T_E}{T_P} \cdot \frac{V}{V_p}, \quad \dots \quad (6.8)$$

となり左边に(6.4)と(6.6)を代入すればよい。

以後のダクト付ペペラの場合ダクト全体が摩擦伴流の中に入るのをこのよう取扱いには少し疑念があるが原理的には一つの方法である。

昭和一年月日

7. 系統論

回転体の後端近くにあたるダクト付プロペラの流場を近似的に角解して推力減少率の近似値を求め、推進効率について考察した。その結果次のようすを考慮した。

- i) ダクトの増速、減速効果は近似的にその仰角、キャブレー フローラスリップ比の一次関数として表現され、その数値で見る限り相当短いダクトでもその効果は大きい。
- ii) ダクトの保持する推力あるいはプロペラ推力と有効推力とのには減速率又は伴流率と直接関係づけられる。
- iii) ダクト付プロペラを一體の推進器と見立て本体との間の推力減少率を下めると場合の内には本体とダクトとの相互干渉力が含まれ、例えば「上増速ダクト」では吸引力となり、ダクトなしの場合に比べて推力減少は少し増加する。
- iv) ダクト中のプロペラを軸流ポンプと見立て設計する考え方があり、そうすると例えば「プロペラ道後部静翼を置くような時も設計は容易になる。

このような時は船体効率の通りにダクト効率あるいはダクト船体効率のようすのを導入しなければならぬ。

- 1) Isay, W.H., "Propellertheorie", Springer, 1964, Kap. 2
Ringflügel und Düsenpropeller,
- 2) Dickman, H.E., "Grundlagen zur Theorie ringförmiger Tragflügel",
Ing. Arch. Bd. 11, 1940.
- 3) Dickman, H.E. und Weissinger, J., "Beitrag zur Theorie optimaler
Düsenschrauben", Jahr. Schiffb. Tech. Ges: Bd 49, 1955.
- 4) Dickman, H.E., "Schiffskörpersog, Wellenwiderstand eines
Propellers und Wechselwirkung mit Schiffswellen", Ing. Arch.,
Bd. 9, 1938.
- 5) Van Manen, J.D. and Superina, A., "The Design of Screw Propellers
in Nozzles" I.S.P., Vol. 6, No. 55, 1959.
- 6) Van Manen, J.D. and Oosterveld, M.W.C., "Analysis of Ducted
Propeller Design", Trans. S.N.A.M.E. Vol. 74, 1966.
- 7) Gibson, I.S. and Lewis, R.I., "Ducted Propeller Analysis by
Surface Vorticity and Actuator Disc Theory", Proc. of
Symposium on Ducted Propellers, R.I.N.A., 1973.
- 8) Minsaas, K.J., Jacobsen, G.M. and Okamoto, H., "The Design of
Large Ducted Propellers for Optimum Efficiency and
Manoeuvrability", Do
- 9) Morgan, W.B., "Theory of the Annular Airfoil and ducted Propeller",
4-th Symposium on Naval Hydrodynamics, 1962.
- 10) Weissinger, J. and Maas, D., "Theory of the Ducted Propeller-A
Review", 7-th Symp. on Naval Hydrodynamics, 1968.
- 11) Morgan, W.B. and Caster, E.B., "Comparison of Theory and Experiment
on Ducted Propellers", Do.
- 12) H. Lamb., "Hydrodynamics" Cambridge, 1932.
- 13) E.O. Tuck., "Some method for flow past blunt slender bodies".
J.F.M. Vol. 18. 1964.
- 14) 山県昌夫 「船型学推進編」 天然社 昭和27年.
- 15) 生井武文 「遠心軸流送風機と圧縮機」 朝倉書店 昭和44年.

昭和 年 月 日

附録 A ダクトの近似解

4節の近似を進めるのに核内数を級数展開し
 さらには多くの項目を用いるのが正当な方法である²⁾
 が、実際に図を描いて見ると G は大変掌子周を
 内数であつて。

$$G(x, D; \alpha, D) = \frac{D}{\pi} \left[1 - \frac{1}{2} \ell \left(\frac{8D}{12} - \frac{\alpha x^2}{8D^2} \right) \right], \quad (A.1)$$

とおき $\alpha = 1.3 \sim 2$ とおくと $x/D < 2$ の範囲で
 差を 0.005 程度にする事が出来る。

ここで上式を用いて積分方程式を解き
 必要な諸量を求めると

$$P = - \frac{2\pi\ell}{\left(1 - \frac{\alpha\ell^2}{4D^2}\right)} \left\{ \alpha \left(1 + \frac{\alpha\ell^2}{2D^2}\right) + \frac{\beta}{2} \right\} - \frac{3\ell \left(\ell \frac{16D}{2} - 2 + \frac{\alpha\ell^2}{8D^2}\right)}{\left(1 - \frac{\alpha\ell^2}{4D^2}\right)}, \quad (A.2)$$

$$w_D = -2\alpha A - \beta B - \gamma C,$$

$$A = \frac{(\ell/D)}{\left(1 - \frac{\alpha\ell^2}{4D^2}\right)^2} \left[\ell \frac{16D}{2} - 2 + \frac{\alpha\ell^2}{4D^2} \left(1 + \frac{\alpha\ell^2}{8D^2}\right) \right], \quad (A.3)$$

$$B = \frac{\ell \left(\ell \frac{16D}{2} - 2\right)}{D \left(1 - \frac{\alpha\ell^2}{4D^2}\right)},$$

$$C = \frac{A}{\pi} \left(\ell \frac{16D}{2} - 2 + \frac{\alpha\ell^2}{8D^2} \right),$$

昭和 年 月 日

附録B 軸流ポンプ理論について 3) 5) 14) 15)

ポンプでモーティアでもまた渦理論を使って
いるので本質的には同じであるけれど記述の
体裁は大変異なつてゐる。

ポンプ理論では速度三角形から
始まつていてモーティア理論とは大分趣きが異なる
けれど羽根中心位置におけるせき線方向速度
は羽根後方の値の半分と見なせば、(説明)
図4のようにモーティア理論の場合と角速度
同じに存在する。(ポンプ理論で重要なのはこうなつてゐる)

今回仮定を定め、角速度を $\omega (=2\pi n)$ とし
羽根を下なるサーチュレーションで代表をせると
半径 r における羽根要素に働く推力 dT_0
トルク dM_0 は 羽根数を s として

$$dT_0 = \rho s P (\omega r - \frac{\epsilon P}{4\pi r}) dr, \quad (B.1)$$

$$dM_0 = \rho s P V_p r dr, \quad (B.2)$$

やうで無限後方における(ポンプ理論では羽根
直後の速度三角形における)前方導速度を $\omega' r$
とすると

$$\omega' r = \frac{\epsilon P}{2\pi r}, \quad (B.3)$$

効率は

$$\eta_0 = \frac{V_p dT_0}{\omega dM_0} = 1 - \frac{\omega'}{2\omega}, \quad (B.4)$$

モーティア理論ではこの他に更に軸方向説導
速度による損失があるがである。

昭和 年 月 日

又 γ^0 ピペラ理論をあける効率最高のベッツの
条件に該するものは今は

$$T = \text{Const.} \quad (\text{B.5})$$

^{正12}であるから本文において採用した作動円板モデル
に該する。

粘性を考慮すると

$$dT = dT_0 (1 - \varepsilon \tan \beta_i), \quad (\text{B.6})$$

$$dM = dM_0 (1 + \varepsilon \cot \beta_i), \quad (\text{B.7})$$

$$\gamma = \gamma_0 \frac{1 - \varepsilon \tan \beta_i}{1 + \varepsilon \cot \beta_i}, \quad (\text{B.8})$$

22cc

$$\tan \beta_i = \frac{V_p}{(\omega - \frac{\omega'}{2}) r} = \frac{V_p}{\omega r \gamma_0}, \quad (\text{B.9})$$

又これはヨリヤの抗揚比である。

近似的には (B.6), (B.7) を積分した値で

$$T = T_0 (1 - \varepsilon \tan \beta_i) \quad | \quad (\text{B.10})$$

$$M = M_0 (1 + \frac{2}{3} \varepsilon \cot \beta_i)$$

となると言う。

2212 β_i はヨリヤ先端における値である。

最後に γ^0 ピペラ特性曲線は前進定数 $\psi = \frac{V}{nD}$
で定まるがホンフロイ量定数

$$\psi = \frac{V_p}{\pi n D}, \quad \dots \quad (\text{B.11})$$

12.5% 定まる。

ピペラにおける持力定数 $K_t = T / \rho n^2 D^4 / 12$
に対応するものはホンフロイの圧力係数 ψ で

昭和 年 月 日

$$\psi = \frac{2\pi H}{(\pi n D)^2} = \frac{\omega T}{\rho A (\pi n D)^2} \quad \dots \quad (B.12)$$

但し H は 0°C 氷頭, A は 0°C 内断面積。
トルク定数に対応するものは 0°C では普通使ひ
れず"設計定数" B_p , δ に對応して比摩擦因数
度が使われその無次元形は

$$\sigma = \phi^{1/4} / \psi^{3/4} \quad \dots \quad (B.13)$$

となりこの値は 0°C 形式を決める。

ダクトフローペラの場合には大変大きくて
通常の 0°C の範囲を遥かに超えている。

昭和 年 月 日

附録 C ダクト厚みの影響

ダクトの厚みが薄い極限では本文4節の通りである
が、このよう近似度での厚みの影響を考えて見よう。

(C.1) 12対応する流域因数は

$$\psi(x, y) = -2 \int_{-l}^l h(x') \frac{\partial}{\partial y} G(x, y; x', D) dx', \quad (C.1)$$

となる。

ここで $h(x)$ はダクトの厚み油膜とする。

4節と同じように h/D が小さいと不規則性は

$$G(x, y; x', y') \rightarrow \frac{D}{2\pi} \left[2 - 2 \log 2 - \log \frac{r_2}{r_1} \right],$$

となる

$$\frac{\partial}{\partial y} G(x, y; x', y') \xrightarrow[x \rightarrow x']{} \frac{D}{2\pi} \left[-\frac{y' - y}{r_1^2} - \frac{1}{2D} \right], \quad (C.2)$$

このとき (C.1) は

$$\psi(x, D) \doteq -D h(x) + \frac{1}{2\pi} \int_{-l}^l h(x') dx', \quad (C.3)$$

$$\text{今 } \int_{-l}^l h(x) dx \approx 2 h_m l, \quad \dots \quad (C.4)$$

ここで 平均厚みを 定義すると 作流率は

$$w_t \doteq \frac{2 h_m}{D} \frac{l}{\pi D^2}, \quad \dots \quad (C.5)$$

を得る。

昭和 年 月 日

：右辺第1項は流路が厚みだけ狭くなると
常に流量が減る影響を表わし、第2項は
厚みの排水効果による土壌通の影響を
表わしていると考えられる。

一般に厚みはあまり大きくなりし又 L/D
もあまり大きくなので右辺第2項の影響
は小さいと考えられるから

半流率は断面厚みに比例して増すと考
えられる。(文部省研究)

参考文献の計算値と比較して見ると量的
にはとろかくも厚みに比例する点ではよ
いっている事がわかる。

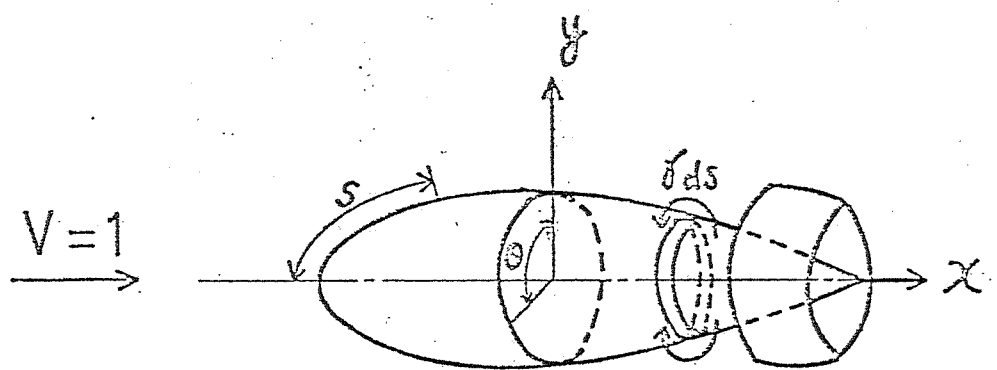


FIG.1 CO-ORDINATE SYSTEM

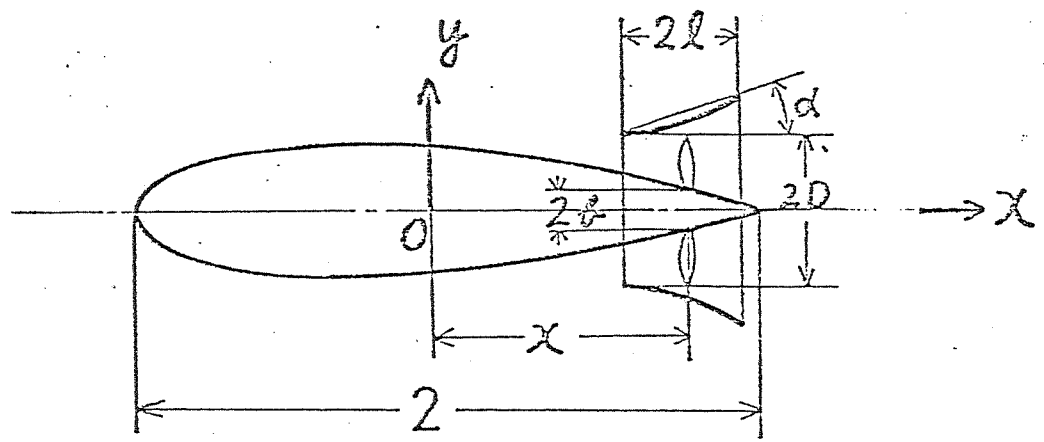


FIG 2 PRINCIPAL DIMENSIONS

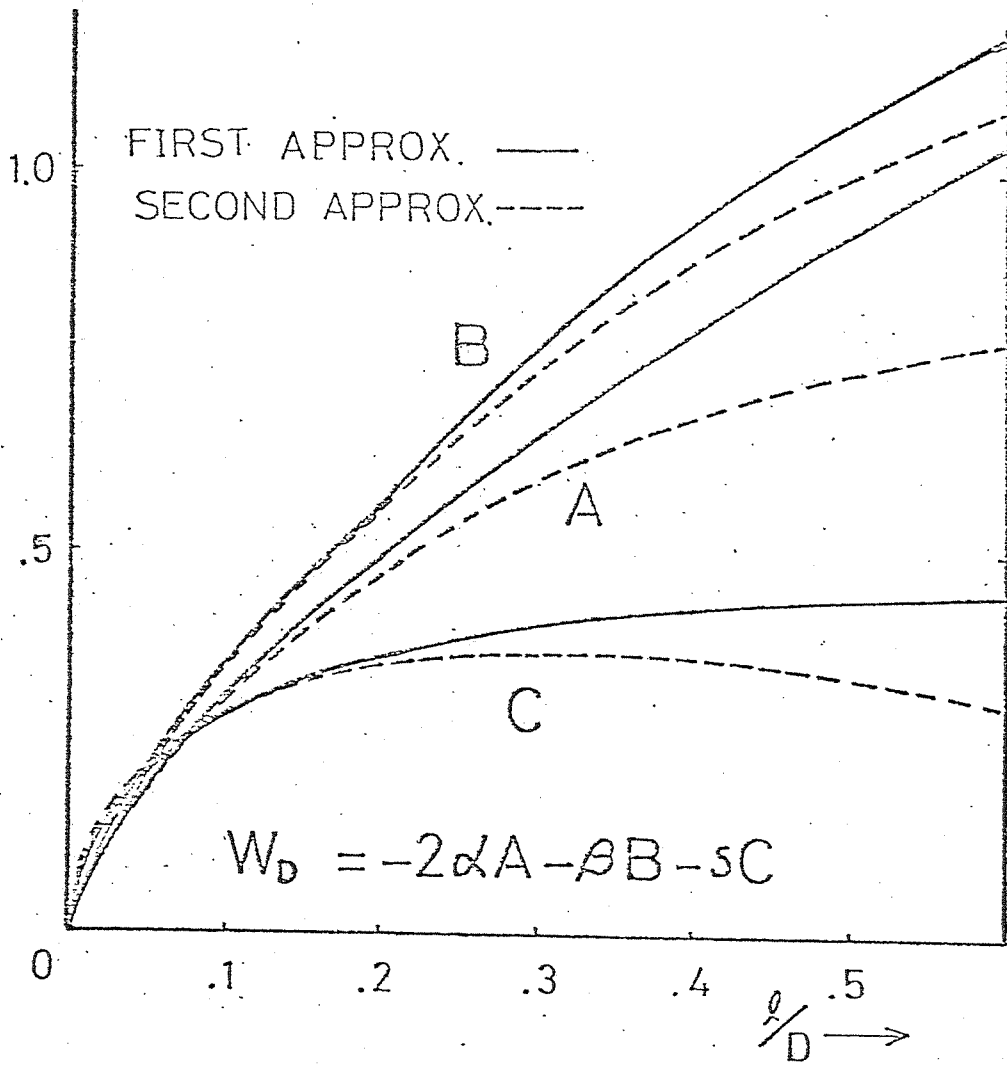


FIG. 3 WAKE FACTOR OF DUCT

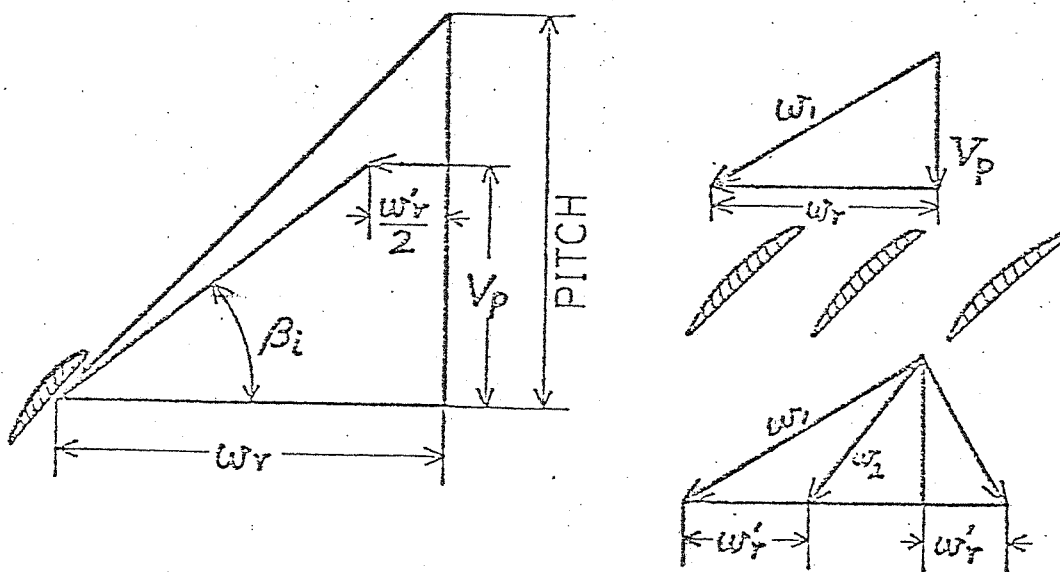


FIG 4 VELOCITY DIAGRAM OF AXIAL FLOW PUMP